Journal of Korean Society of Dental Hygiene 2016; 16(5): 695-700 http://dx.doi.org/10.13065/jksdh,2016.16,05,695

ISSN 2287-1705(Print) ISSN 2288-2294(Online)



# CAD/CAM 세라믹의 두께가 색조에 미치는 영향

강 월 · 한만소 · 기지환

고려대학교 대학원 보건과학과 치의기공전공 • 1대전보건대학교 치기공과

# Effect of CAD/CAM ceramic thickness on shade

Wol Kang · Man-So Han¹ · Ji-Hwan Kim

Department of Dental Laboratory Science and Engineering, College of Health Science, Korea University • ¹Department of Dental Technology, Daejeon Health University

\*Corresponding Author: Ji-Hwan Kim, Department of Dental Laboratory Science and Engineering, College of Health Science, Korea University, Tel: +82-10-6270-0341, Fax: +82-2-916-5943, E-mail: kjh2804@korea.ac.kr

Received: 14 July 2016; Revised: 4 October 2016; Accepted: 5 October 2016

#### **ABSTRACT**

Objectives: The purpose of the study was to investigate the effect of CAD/CAM ceramic thickness on shade.

Methods: 24 disk-shaped ceramic specimens (E.Max CAD & Empress CAD, 12 mm  $\times$  12 mm) were prepared and divided into 4 groups (n=6). Ceramic specimens in 2 thicknesses (0.8 mm, 1.0 mm) were made low translucency(LT) shade A2. All specimens were measured as L\*, a\*, b\* using spectrophotometer. The color differences( $\triangle$ E values) between the specimen and a control target block (12  $\times$  12 mm) were calculated. Two-way ANOVA performed between 2 groups(material and thickness).

Results: As the thickness increased, the L\* (for all groups) and b\* value (for all groups) increased and the a\* value(for LR group) decreased. The mean color differences caused by thickness was acceptible ( $\Delta E > 2$ ) for group LD1. But the mean color differences by thickness were not selected ( $\Delta E < 2$ ) for group LD2, LR1, LR2.

Conclusions: The different thickness can influence the final color of CAD/CAM ceramic.

Key Words: CAD/CAM, shade, spectrophotometer

색인: 분광광도계, 색, CAD/CAM

#### 서론

최근에 심미성이 중요해짐에 따라, 다양한 올세라믹 재료가 개발되었다[1]. 올세라믹 수복물은 색과 투명도 면에서 메탈 세라믹 수복물에 비해 심미적으로 자연치아에 더적합하기 때문이다[2]. 또한 우수한 생체 적합성 및 증가된 강도로 올세라믹에 대한 수요는 증가하였다[3]. 이러한 올세라믹 재료는 여러 가지 제조방법에 의해 만들어 질 수 있는데, 그 중에서 CAD/CAM 기술은 새로운 재료를 적용하

기 쉽고, 노동력과 비용을 줄이며, 품질을 높일 수 있기 때 문에 그 사용이 점차 증가하고 있다[4,5].

CAD/CAM으로 제작하는 대표적인 올세라믹 재료는 지르코니아이다. 그러나 지르코니아는 일반적으로 상부 도재와의 결합 강도가 다른 코어 재료의 결합 강도에 비해 낮고 [6], 상부 도재와 지르코니아 코어 간 굴곡강도 차이로 인해 상부 도재의 파절이 빈번하다[7]. 또한 자연치와 같은 반투 명성이 다른 올세라믹 재료에 비해 떨어지는 단점이 있다 [8]. 이러한 단점을 보완하기 위해 등장한 재료가 백류석 강화 세라믹(leucite reinforced ceramic)이다. 백류석 강화 세라믹은 미세 구조로 적합성이 좋고, 색과 투명도가 자연 치아에 잘 어울리기 때문에 주로 사용되었다[9,10]. 그러나 최근에 각광받는 세라믹 재료로 리튬 디실리케이트(lithium

Copyright©2016 by Journal of Korean Society of Dental Hygiene This is an open-access article distributed under the terms of the Creative Commons Attribution Non-Commercial License (http://creativecommons.org/licenses/by-nc/3.0/), which permits unrestricted non-commercial use, distribution, and reproduction in medium, provided the original work is properly cited.

disilicate)가 등장하였다[11]. 리튬 디실리케이트는 400 MPa로 비교적 높은 강도를 가지고 있고, 상아질과 법랑질에 접착 및 에칭을 모두 할 수 있으며, 적절한 투명성으로 뛰어난 심미성을 나타내기 때문이다[12].

색이란 지각과정이 아니라 물리적 광에서부터 생리적, 심리적인 과정을 거치는 시각과정이다[13, 14]. 그러므로 색을 관찰할 때는 관찰자의 주관적 심리요소가 관여되기 때문에 색의 객관적 평가 및 정량화가 큰 문제점 중의 하나이다 [15].

본 연구에서는 연구결과의 신뢰도를 높이기 위해서 고정 밀 분광광도계를 사용하였다(CM-3600A, Konica Minolta, Japan). 분광광도계는 한 번에 한 번의 파동으로 물체의 반 사율과 투과율을 측정할 수 있다[16]. 특히 이 측정 기구의 장점은 물체에서 반사된 빛을 프리즘을 통해 20~40개의 센서로 파장대역별 반사율을 측정하여 색을 분석할 수 있기때문에 보다 정밀한 측정이 가능하다. 또한 색상을 분석하고 다양한 광원 아래서 시뮬레이션이 가능한 장점이 있다[17,18]. 단점으로는 하나의 범을 사용하기 때문에 시편의흡수 오차가 발생할 수 있다. 이를 줄이기 위해서 측정경의크기를 7 mm가 아닌 11 mm로 증가시켰다[19].

세라믹 수복물의 색에 영향을 미치는 요인으로는 두께 [20], 제조사[21], 표면 거칠기[22], 세라믹 성분[23], 불투 명도[24], 소성횟수, 응축 기술 등이 있다[25-27]. 자연치의 색은 상아질과 법랑질의 각각 다른 색과 두께 및 빛의 산란과 흡수에 의해 결정된다[28, 29]. 그러므로 자연스런 세라믹 수복물을 제작하기 위해서는 여러 가지 요소를 고려해야한다. 그 중에서도 세라믹의 두께는 세라믹 수복물의 색에 많은 영향을 미친다[24]. 선행연구에서는 동일한 색으로 제작한 세라믹 수복물일지라도 1.6 mm 미만 두께의 세라믹은 하부의 metal색이 차폐되지 않았지만, 1.6 mm 이상 두께의세라믹은 하부의 metal 색을 가릴 수 있다고 하였다[24]. 때문에 세라믹 수복물에 원하는 색을 재현하고자 한다면 일률적인 두께가 중요한 요소이다. 그러나 실제로 세라믹 수복

물의 두께는 미리 그 양을 측정하기 어려운 현실이다.

도재의 두께가 색에 미치는 영향에 대한 선행연구로는 도재 층의 두께가 달라짐에 따라서 최종 수복물의 색에 영향을 미친다고 보고한 연구가 있다[30]. 손 등[31]은 상아질 포세린의 두께가 두꺼워질수록 CIE L값은 감소하고, CIE a,b 값은 증가한다고 하였다. 또한 Vichi 등[20]은 도재 두께가 1.5 mm 미만이면 기질을 평가할 필요가 있다고 하였으며, Nakamura 등[32]은 도재 두께가 1.6 mm 이상이면 하부의 메탈 색을 차폐할 수 있는 두께라고 보고하였다. 그러나 현재까지 CAD/CAM 세라믹의 두께에 따른 색에 관한 연구는 부족한 실정이다. 따라서 본 연구의 목적은 CAD/CAM 세라믹의 두께가 색조에 미치는 영향을 알아보고자 한다.

#### 연구방법

# 1. 시편제작

본 연구는 같은 제조사에서 제작된 lithium disilicate ceramic(LD)과 대조군으로 leucite reinforced ceramic(LR) 을 사용하였다(IPS e.Max CAD LT A2, IPS Empress CAD A2, Ivoclar Vivadent, Germany). 실험을 위해서 서로 다른 두께를 가진 12 mm 정사각형 시편이 각 그룹당 6개씩 총 24개와 대조군 시편 2개, 총 26개가 제작되었다. 시편의 두께 는 각각 0.8 mm, 1.0 mm이고 색차를 계산하기 위한 기준 시편은 1.2 mm로 제조사 설명서에 명시된 최소 두께 0.7 mm 보다 두껍게 제작하였다. 각각의 시편은 소성 시 일어나는 시 편의 뒤틀림과 절삭량을 고려하여 13 mm의 정사각형에 각각 의 두께보다 약 0.4 mm 크게 다이아몬드 절삭기로 절삭하였 다(Diamonde Blade, Samsung Clover, Korea). 절삭한 시편 은 제조사의 설명서에 따라 소성하였고, 소성 된 시편은 다이 아몬드 절삭기를 이용하여 12 mm 정사각형 모양으로 절삭하 였다. 그리고 시편의 양면은 수평형 평면연삭기로 평면을 맞추 어 준 후에(HRG-150, AM Technology, Germany), 실리콘

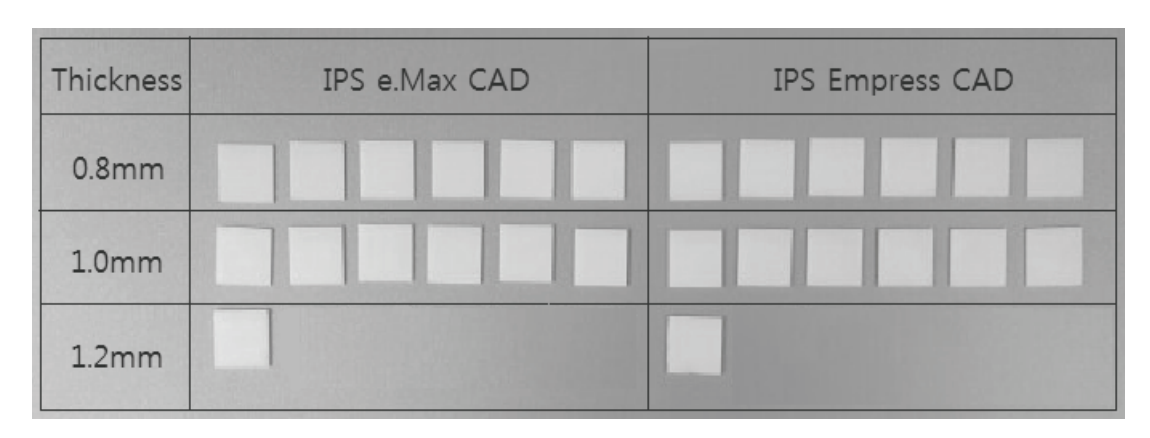


Fig. 1. Ceramic color

연마기로 양면을 연마하였다(SPL 15 Grind-X, Okamoto, Japan). 모든 시편은 잔류물을 제거하기 위해 증류수가 담긴 울트라 소닉 클리너에 10분간 세척하였다(Ultrasonic cleaner, Mujigae, Korea).

#### 2. 측정도구

시편의 두께는 디지털 마이크로미터를 이용하여 무작위로 3점을 측정하였다(QuantuMike Digital micrometer, Mitutoyo, Japan). 측정된 시편의 두께로 평균과 표준편차를 구하였다.

색의 측정은 분광광도계(CM-3600A, Minolta, Japan)를 이용하여 3번 연속하여 나온 값의 평균을 사용하였다. 각시편의 L\*, a\*, b\* 값을 측정하고, 각각의 평균과 표준편차를 산출하였다. L\*은 명도를 나타내고, a\*는 적색과 녹색의 정도를 나타내는데 +는 적색방향, -는 녹색방향을 나타낸다. b\*는 황색과 청색의 정도로 +는 황색방향, -는 청색방향을 나타낸다. 기준 시편과 비교해서 시편의 두께가 줄어들수록 변하는 색차를 알아보기 위하여  $\Delta$ L\*,  $\Delta$ a\*,  $\Delta$ b\*,  $\Delta$ E 값을 구하였다.

$$\Delta L^* = L^*_2 - L^*_1$$

$$\Delta a^* = a^*_2 - a^*_1$$

$$\Delta b^* = b^*_2 - b^*_1$$

$$\Delta E = \{(\Delta L^*)^2 + (\Delta a^*)^2 + (\Delta b^*)^2\}^{1/2}$$

### 3. 분석방법

통계분석은 SPSS 22.0을 사용하였다. 시편의 두께가 일 관성을 가지는지 알아보기 위하여기술통계를 실시하였고, LD와 LR 재료의 두께에 따른 색을 비교하기 위해서 Tukey의 사후분석을 실시하였다. 또한 재료와 두께의 차이

가 색에 미치는 영향을 알아보기 위하여 이원배치 분산분석 음 사용하였다.

#### 연구결과

#### 1. 각 시편의 두께

시편 두께의 평균±표준편차는 다음과 같다. IPS e.Max CAD 0.8 mm(LD1)은 0.8±0.00, IPS e.Max CAD 1.0 mm(LD2)은 1.00±0.00, IPS e.Max CAD 1.2 mm(LD)은 1.2 mm, ,IPS Empress CAD 0.8 mm(LR1)은 0.81±0.00, IPS Empress CAD 0.8 mm(LR2)은 1.00±0.00, IPS Empress CAD 1.2 mm(LR)은 1.2로 나타났다.

#### 2. 각 시편의 색

<Table 1>은 각 시편의 두께에 따른 L\*, a\*, b\* 값을 나타내고 있다. L\*값의 경우에는 1.0 mm 두께가 0.8 mm 두께보다 큰 값이었다. a\*값의 경우에는 1.0mm 두께가 0.8mm 두께보다 높은 값을 보였으며 비교적 녹색에 가까운 색을 보였다. b\*값의 경우 1.0 mm 두께가 0.8 mm 두께보다 높은 값을 보이며 비교적 황색에 가까운 색을 보였다.

#### 3. 각 시편의 색차

기준 시편에서 두께에 따른 각 시편의 색차인  $\Delta L^*$ ,  $\Delta$  a\*,  $\Delta b^*$  그리고  $\Delta E$ 값은 <Table 2>에 나타나 있다. LD 그룹은 기준 시편에 비해 두께가 감소할수록  $\Delta L^*$ ,  $\Delta a^*$ ,  $\Delta b^*$  그리고  $\Delta E$ 값의 차이가 증가하였다. LR 그룹은 기준 시편에 비해 두께가 감소할수록  $\Delta L^*$ ,  $\Delta a^*$ ,  $\Delta E$ 값의 차이가 증가한 반면에  $\Delta b^*$ 값은 감소하였다.

Table 1. Mean(SD) L\*, a\*, b\* values of specimens

Group	N	Thickness(mm)	Mean(SD)			
			L*	a*	b*	
LD1	6	0.8	66.31(0.31) <sup>a</sup>	-1.99(0.05) <sup>a</sup>	8.09(0.14) <sup>a</sup>	
LD2	6	1.0	$67.03(0.29)^{b}$	$-1.84(0.23)^{b}$	$9.59(0.17)^{b}$	
LR1	6	0.8	65.48(0.16) <sup>c</sup>	$-1.31(0.02)^{c}$	$9.29(0.07)^{c}$	
LR2	6	1.0	$66.40(0.19)^a$	$-1.26(0.01)^{c}$	$11.03(0.05)^{d}$	

a,b,c,d=Grouping information with Tukey method

Table 2, Mean(SD)  $\triangle L^*$ ,  $\triangle a^*$ ,  $\triangle b^*$ ,  $\triangle E$  values of specimens

Group	Mean	(SD)		
Group	$\Delta L^*$	∆a*	$\Delta b^*$	$\Delta \mathrm{E}$
LD1	-0.81(0.31)	-0.31(0.04)	-2.81(0.14)	2.95(0.05)
LD2	-0.08(0.29)	-0.15(0.03)	-1.31(0.17)	1.35(0.16)
LR1	-2.30(0.16)	0.15(0.02)	-3.63(0.07)	4.30(0.07)
LR2	-1.45(0.23)	0.20(0.01)	-1.87(0.05)	2.38(0.17)

Table 3. Results of a 2-way ANOVA for mean △E values of specimens(material and thickness) tested

Source	Sum of Squares	df	Mean Square	F	p-value
Material	8.49	1	8.49	397.70	< 0.001
Thickness	18.64	1	18.64	873.64	< 0.001
Material*Thickness	0.14	1	0.14	9.34	0.006
Error	0.448	21	0.02		
Total	208.25	24			

 $R^2=98.4\%$ ,  $R^2$ (adjusted)=98.2%

### 4. 시편의 재료와 두께가 색차에 미치는 영향

CAD/CAM 세라믹 재료와 두께에 따라 색차에 차이가 있는지를 보기 위해 이원배치 분산분석을 실시하였다 <Table 3>. 분산의 동질성에 대한 Levene의 검정 후 유의 확률이 0.454로 유의수준 0.05보다 크므로 등분산은 가정되었다. 이원배치 분산분석 결과 재료의 F값은 397.70, 유의 확률은 0.01보다 작으므로 재료에 따른 색의 차이가 있다고 볼 수 있다. 두께 또한 F값은 873.64이고 유의확률은 0.01보다 작으므로 두께 0.8 mm와 1.0 mm 간에는 색의 차이가 있다고 볼 수 있다. 두께와 재료의 교호작용은 색차에 유의한 영향을 준다고 볼 수 있다.

## 총괄 및 고안

임상에서 사용하는 CAD/CAM 세라믹 재료는 두께에 따라서 그 색에 차이가 발생한다[33]. 이러한 차이로 인해서 임상에서는 오차가 발생할 수 있고, 이러한 오차는 성공적인 보철물을 만들 수 없게 한다. 그러므로 본 연구에서는 두께가 변함에 따라서 나타나는 색의 차이를 분석해 보고자한다.

시편의 두께가 두꺼워질수록 CAD/CAM 세라믹 재료와 상관없이 L\*값이 증가하면서, 명도가 높아지는 것으로 나타 났다<Table 1>. 특히 LR2가 LD1과 비슷한 명도를 나타낸 것으로 나타나 같은 두께일 때 LD그룹이 LR에 비해 명도 가 높다는 것을 알 수 있었다.  $\triangle b^*$ 을 통해  $b^*$ 값도 재료와 상관없이 시편의 두께가 얇아질수록 청색이 짙어졌다. 이는 두께가 얇아짐에 따라서 투명해지므로 청색이 짙어진 것으 로 사료된다. 이 결과를 통해 같은 1.0 mm 이내의 두께에 서도 충분히 색을 조정할 수 있다는 가능성을 보여주었다. 이는 선행 연구와도 유사한 결과로 그 이유는 시편 자체가 불투명하고 명도가 높기 때문이다[34]. 반면에 △a\*값은 LD와 LR 그룹에서 상이한 차이를 보였는데 LD 그룹은 두 께가 감소할수록 녹색이 짙어진 데 비해 LR 그룹은 별 차 이가 없는 것으로 나타났다<Table 2>. 이는 시편의 두께가 얇아질수록 a\*값은 LR 그룹에 비해 LD 그룹의 변화량이 높은 것으로 볼 수 있다. 이는 LR이 자연스러운 광학 특성

을 가지고 있는데 비해 LD는 그보단 불투명한 것에서 기인 한 것으로 생각된다[35].

색차를 평가하기 위해서 O'Brien 등은 △E가 1이하일 경우에는 육안으로 식별할 수 없고, 2 이하일 경우에는 임 상적으로 받아들여질 만하며, 3.7 이상일 경우에는 임상적 으로나 육안으로 확연히 구분할 수 있는 기준 값으로 사용 하였다[15]. 본 연구에서 LD 그룹은 두께가 0.2 mm 줄어 들면 색차가 1.35로 숙련된 전문가에 의해서만 구분할 수 있는 색차이기 때문에 임상적으로 받아들일 수 있는 색차였 다<Table 2>. 그러나 두께가 0.4 mm 줄어들면 색차가 2.95 로 비전문가에 의해서도 색차의 구별이 가능하기 때문에 임 상적으로 받아들일 수 없는 색차였다[36]. LR 그룹은 두께 가 0.2 mm 줄어들 때 색차가 2.38로 임상적으로 받아들일 수는 없지만 치과의사가 색차를 느끼는 2.6보다는 작은 값 이었다[37]. 또한 두께가 0.4 mm 줄어들면 색차가 4.30으 로 임상적으로나 육안으로 확연히 구분할 수 있는 상태였지 만 치과의사가 색상불일치로 재제작을 요구하는 5.5보다는 낮았다[37]. 이러한 결과를 토대로 같은 A2라고 하여도 재 료와 두께에 따라서 색이 다르다는 것을 알 수 있었다. 이를 위해 재료와 두께에 따른 이원배치 분산분석을 시행한 결과 유의확률이 0.01보다 작게 나와서 두께와 재료에 따라 색차 가 달라진다는 것을 확인하였다.

본 연구를 통해 저자는 CAD/CAM 세라믹의 최종 색조가 두께에 따라서 색에 영향을 미친다는 것을 알 수 있었고, 그 정도가 육안으로도 구별할 수 있을 만큼 적지 않기 때문에, 심미성이 중요한 최근의 경향을 고려할 때 CAD/CAM 세라믹으로 제작하는 올세라믹 수복물이나 라미네이트를 제작할 때에는 세라믹의 두께를 주의 깊게 고려해야만 임상적으로 만족한 만한 세라믹 수복물을 얻을 수 있을 것이다. 이연구의 한계점은 시편수가 비교적 적었다는 문제가 있다. 따라서 앞으로는 시편수를 결정함에 있어 선행연구를 통한 power analysis가 필요하다.

#### 결론

CAD/CAM 세라믹의 두께에 따라서 색에 미치는 영향을 알아보기 위하여 IPS e.max CAD와 IPS Empress CAD

시편을 분광광도계를 이용하여 측정하여 다음과 같은 결론 을 얻었다.

- 1. IPS e.max CAD는 기준 시편에 비해 두께가 0.2 mm 줄어들면 평균 색차가 2보다 작았고, 0.4 mm 일 때는 평균색차가 2보다 컸다.
- 2. IPS Empress CAD는 기준 시편에 비해 두께가 0.2 mm 줄어들면 평균 색차가 2보다 컸고, 0.4 mm 일 때는 평균 색차가 4 이상으로 육안으로 확연히 구분할 수 있는 색차였다.
- 3. IPS e.max CAD가 IPS Empress CAD에 비해서 색 차가 적었다.

이를 통해 재료와 두께에 따라서 색이 영향을 받았다. 그러므로 임상에서 IPS e.max CAD로 제작한 수복물은 두께가 0.4 mm, IPS Empress CAD로 제작한 수복물은 두께가 0.2 mm 이상 차이가 나면 동일한 색상을 재현할 수 없으므로 목표하는 최종수복물의 색을 표현하고자 할 때에는 두께를 고려해야 한다.

#### References

- Kelly JR, Nishimura I, Campbel SD. Ceramics in dentistry: historical roots and current perspectives. J Prosthet Dent 1996; 75: 18-32. http://dx.doi.org/10.1016/s0022-3913(96)90413-8.
- Rosenstiel SF, Land MF, Fujimoto J. Contemporary fixed prosthodontics. 4th ed., St Louis: Mosby; 2006: 774. http://dx. doi.org/10.1111/j.1532-849x.2002.223 4.x.
- Christensen GJ. Porcelain-fused-to-metal vs. nonmetal crowns. J Am Dent Assoc 1999; 130: 409-411. http://dx.doi. org/10.14219/jada.archive.1999.0211.
- Denry IL. Recent advances in ceramics for dentistry. Crit Rev Oral Biol Med 1996; 7: 134-43. http://dx.doi.org/10. 1177/1045441196007002020.
- Miyazaki T, Hotta y, Kunii J, Kuriyama S, Tamaki Y. A review of dental CAD/CAM: current status and future perspectives from 20 years of experience. Dent Mater J 2009; 28(1): 44-56. http://dx.doi.org/10.4012/dmj.28.44.
- Aboushelib MN, Jager Nd, Kleverlaan CJ, Feilzer AJ. Microtensile bond strength of different components of core veneered all-ceramic restorations. Dent Mater 2005; 21: 984-91. http://dx.doi.org/10.1016/j.dental.2005.03.013.
- Culp L, McLaren EA. Lithium Disilicate: The Restorative Material of Multiple Options. Compend Contin Educ Dent 2010; 31: 716-25.

- Heffernan MJ, Aquilino SA, Diaz-Amold AM, Haselton DR, Stanford CM, Vargas MA. Relative translucency of six all-ceramic systems. Part I: core materials. The Journal of prosthetic dentistry 2002; 88(1): 4-9. http://dx.doi.org/10. 1016/s0022-3913(02)00040-9.
- Teixeira EC, Piascik JR, Stoner BR, Thompson JY. Dynamic fatigue and strength characterization of three ceramic materials. Journal of Materials Science: Materials in Medicine 2007; 18(6): 1219-24. 10.1007/s10856-007-0131-4.
- Höland W, Rheinberger V, Apel E, van't Hoen C, Höland M, Dommann A, Graf-Hausner U. Clinical applications of glass-ceramics in dentistry. Journal of Materials Science: Materials in Medicine 2006; 17(11): 1037-42. http://dx.doi.org/10.1007/s10856-006-0441-y.
- McLaren EA, Cao PT. Ceramics in dentistry—part I: classes of materials. Inside Dent 2009; 5: 94-104.
- Guarda GB, Correr AB, Gonçalves LS, Costa AR, Borges GA, Sinhoreti MA, et al. Effects of surface treatments, thermocycling, and cyclic loading on the bond strength of a resin cement bonded to a lithium disilicate glass ceramic. Oper Dent 2013; 38(2): 208-17. http://dx.doi.org/10.2341/11-076-1.
- Sproull RC. Color matching in dentistry. Part I. The three-dimensional nature of color. J Prosthet Dent 1973;
   416-24. 10.1067/mpr.2001.119827.
- Swepston JH, Miller AW. 3rd. Esthetic matching. J Prosthet Dent 1985; 54: 623-5. http://dx.doi.org/10.1016/0022-3913 (85)90234-3.
- O'Brien WJ, Groh CL, Boenke KM. A new, small-color-difference equation for dental shades. J Dent Res 1990;
   1762-4. http://dx.doi.org/10.1177/00220345900690111
   001.
- Barath VS, Faber FJ, Westland S, Niedermeier W. Spectrophotometric Analysis of All-ceramic Materials and Their Interaction with Luting Agents and Different Backgrounds. Adv Dent Res 2003; 17(1): 55-60. http://dx.doi. org/10.1177/154407370301700113.
- Gomez Polo C, Gomez Polo M. Celemin Vinuela A, Martinez Vazquez, De Parga JA. Differences between the human eye and the spectrophotometer in the shade matching of tooth colour. J Dent 2014; 42(6): 742-5. http://dx.doi.org/ 10.1016/j.jdent.2013.10.006.
- Celik G, Uludag B, Usumez A, Sahin V, Ozturk O, Goktug G. The effect of repeated firing on the color of an all-ceramic system with two different veneering porcelain shades. J Prosthet Dent 2008; 99: 203-8. http://dx.doi.org/10.1016/s0022-3913(08)60044-x.

- Walter WS. Correction of single-beam sample absorption error in a hemispherical 45°/0° spectrophotomter measurement cavity. Color Res Appl 2013; 39(5): 436-41. http://dx.doi.org/ 10.1002/col.21824.
- Vichi A, Ferrari M, Davidson CL. Influence of ceramic and cement thickness on the masking of various types of opaque posts. J Prosthet Dent 2000; 83: 412-7. http://dx.doi. org/10.1016/s0022-3913(00)70035-7.
- 21. Hannad IA, Stein RS. A qualitative study for the bond and color of ceramometals. Part II. J Prosthet Dent 1991; 65: 169-79. http://dx.doi.org/10.1016/0022-3913(91)90158-s.
- Tuncdemir AR, Dilber E, Kara HB, Ozturk N. The effects of porcelain polishing techniques on the color and surface texture of different porcelain systems. Mater Sci Appl 2012;
   294-300. http://dx.doi.org/10.4236/msa.2012.35043.
- 23. Yu B, Lee YK. Color difference of all-ceramic materials by the change of illuminants. Am J Dent 2009; 22: 73-8.
- 24. Alma Dozic, Kleverlaan CJ, Meegdes M, Zel J, Feilzer AJ. The influence of porcelain layer thickness on the final shade of ceramic restorations. J Prosthet Dent 2003; 90: 563-70. http://dx.doi.org/10.1016/s0022-3913(03)00517-1.
- Jorgenson MW, Goodkind RJ. Spectrophotometric study of five porcelain shades relative to the dimensions of color, porcelain thickness, and repeated firings. J Prosthet Dent 1979; 42: 96-105. http://dx.doi.org/10.1016/0022-3913(79) 90335-4.
- Barghi N, Richardson JT. A study of various factors influencing the shade of bonded porcelain. J Prosthet Dent 1978; 39: 282-4. http://dx.doi.org/10.1016/s0022-3913(78) 80096-1.
- Barghi N. Color and galze: effects of repeated firings.
   J Prosthet Dent 1982; 47: 393-5. http://dx.doi.org/10.1016/s0022-3913(82)80088-7.
- Zijp JR, Ten Bosch JJ, Groenhuis RAJ. HeNe-laser scattering by human dental enamel. J Dent Res 1995; 74: 1891-8. http://dx.doi.org/10.1177/00220345950740121301.
- 29. Ten Bosch JJ, Coops JC. Tooth color and reflectance as

- related to light scattering and enamel hardness. J Dent Res 1995; 74: 374-80. http://dx.doi.org/10.1177/0022034595 0740011401.
- Corciolani G, Vichi A, Louca C, Ferrari M. Influence of layering thickness on the color parameters of a ceramic system. Dent Mater 2010; 26(8): 737-42. http://dx.doi.org/ 10.1016/j.dental.2010.03.018.
- Son HJ, Kim WC, Jun SH, Kim YS, Ju S, Ahn JS. Influence of dentin porcelain thickness on layered all-ceramic restoration color. J Dent 2010; 38(2): e71-7. http://dx.doi.org/ 10.1016/j.jdent.2010.08.007.
- Nakamura T, Satio O, Fuyikawa J, Ishigaki S. Influence of abutment substrate and ceramic thickness on the colour of heat-pressed ceramic crown. J Oral Rehabil 2002; 29: 805-9. http://dx.doi.org/10.1046/j.1365-2842.2002.00919.x.
- Della Bona A, Pecho OE, Ghinea R, Cardona JC, Pérez MM. Colour parameters and shade correspondence of CAD-CAM ceramic systems. J Dent 2015; 43: 726-34. http://dx.doi.org/10.1016/j.jdent.2015.02.015.
- Seong DH, Lee IG, Sohng JW, Bok WM, Ahn SG, Park CW. The influence of porcelain layer thickness and color on the final shade of ceramic restorations. J Korean Acad Dent Health 2005; 43(5): 587-97. http://dx.doi.org/10.1016/ s0022-3913(03)00517-1.
- Salameh Z, Tehini G, Norma Z, Ragab HA, Berberi A, Aboushelib MN. Influence of ceramic color and translucency on shade match of CAD/CAM porcelain veneers. Clinical Research 2014; 9(1): 90-8.
- Seghi RR, Hewlett ER, Kim J. Visual and instrumental colorimetric assessments of small color differences on translucent dental porcelain. J Dent Res 1989; 68: 1760-4. http://dx.doi.org/10.1177/00220345890680120801.
- Douglas RD, Steinhauer TJ, Wee AG. Intraoral determination of the tolerance of dentists for perceptibility and acceptability of shade mismatch. J Prosthet Dent 2007; 97(4): 200-8. http://dx.doi.org/10.1016/j.prosdent.2007.02.012.